

УДК 539.3

ГРАНИЧНО-ЭЛЕМЕНТНОЕ ПОСТРОЕНИЕ РЕШЕНИЙ ДЛЯ ТРЕХМЕРНОЙ МАТРИЦЫ ГРИНА*

© 2013 г. Л.А. Игумнов, И.П. Марков, В.П. Пазин, А.А. Ипатов

НИИ механики Нижегородского государственного университета им. Н.И. Лобачевского

igumnov@mech.unn.ru

Поступила в редакцию 10.10.2012

Моделируется динамика составного тела, одна из однородных частей которого обладает сильно выраженным эффектом возникновения третьей волны. Задача рассматривается в рамках трехмерной динамической теории пороупругости. В качестве метода исследования применен метод граничных интегральных уравнений в прямой формулировке. Приводятся результаты численных исследований, полученные на основе гранично-элементного подхода.

Ключевые слова: метод граничных элементов, пороупругость, волна Био.

1. Математическая модель и метод решения

Рассматривается однородное тело $\Omega \in R^3$, $\Gamma = \partial\Omega$. Система дифференциальных уравнений в преобразованиях Лапласа (параметр s) для смещения \hat{u}_i и порового давления \hat{p} имеет следующий вид [1, 2]:

$$\begin{aligned} G\hat{u}_{i,jj} + \left(K + \frac{1}{3}G \right) \hat{u}_{jj} - (\alpha - \beta)\hat{p}_{,i} - s^2(\rho - \beta\rho_f)\hat{u}_i &= -\hat{F}_i, \\ \frac{\beta}{s\rho_f}\hat{p}_{,ii} - \frac{\phi^2 s}{R}\hat{p} - (\alpha - \beta)s\hat{u}_{ii} &= -\hat{a}, \\ \beta &= \frac{k\rho_f\phi^2 s^2}{\phi^2 s + s^2 k(\rho_a + \phi\rho_f)}, \end{aligned}$$

где G, K – константы упругости; ϕ – пористость; k – проницаемость; α – эффективный коэффициент напряжений; ρ, ρ_a, ρ_f – пористости скелета, присоединенной массы и жидкой среды; \hat{F}_i, \hat{a} – плотности источников.

Интегральное представление прямого подхода записывается в виде [2, 3]:

$$\begin{bmatrix} \hat{u}_j \\ \hat{p} \end{bmatrix} = \int_{\Gamma} \begin{bmatrix} \hat{U}_{ij}^s & -\hat{P}_j^s \\ \hat{U}_i^f & -\hat{P}^f \end{bmatrix} \begin{bmatrix} \hat{t}_i \\ \hat{q} \end{bmatrix} d\Gamma - \int_{\Gamma} \begin{bmatrix} \hat{T}_{ij}^s & -\hat{Q}_j^s \\ \hat{T}_i^f & -\hat{Q}^f \end{bmatrix} \begin{bmatrix} \hat{u}_i \\ \hat{p} \end{bmatrix} d\Gamma.$$

* Работа выполнена при частичном финансировании ФЦП «Научные и научно-педагогические кадры России» на 2009–2013 годы (ГК 14.740.11.0872, соглашения 14.B37.21.1249, 14.B37.21.1137), Программой государственной поддержки ведущих научных школ РФ (грант НШ-2843.2012.8) и при поддержке РФФИ (гранты 12-01-00698-а, 12-08-00984-а, 12-08-31572, 13-08-00658).

Итоговая система граничных интегральных уравнений (ГИУ) имеет вид [2, 3]:

$$\begin{aligned} \begin{bmatrix} c_{ij}(y) & 0 \\ 0 & c(y) \end{bmatrix} \begin{bmatrix} u_i(s, x) \\ p(s, x) \end{bmatrix} + \int_{\Gamma} \begin{bmatrix} T_{ij}^s(s, y, x) & -Q_j^s(s, y, x) \\ T_i^f(s, y, x) & -Q^f(s, y, x) \end{bmatrix} \begin{bmatrix} u_i(s, x) \\ p(s, x) \end{bmatrix} d\Gamma = \\ = \int_{\Gamma} \begin{bmatrix} U_{ij}^s(s, y, x) & -P_j^s(s, y, x) \\ U_i^f(s, y, x) & -P^f(s, y, x) \end{bmatrix} \begin{bmatrix} t_i(s, x) \\ q(s, x) \end{bmatrix} d\Gamma. \end{aligned}$$

Ядра допускают выделение особенностей [2]:

$$\begin{aligned} \hat{P}_i^s = O(r^0), \quad \hat{U}_i^f = O(r^0), \quad \hat{P}^f = \frac{\rho_f p}{4\pi\beta} \frac{1}{r} + O(r^0), \quad \hat{Q}^f = -\frac{r_n}{4\pi r^2} + O(r^0), \\ \hat{U}_{ij}^s = \frac{1+\nu}{8\pi E(1-\nu)} \{r_{,i}r_{,j} + \delta_{ij}(3-4\nu)\} \frac{1}{r} + O(r^0), \\ \hat{Q}_j^s = \frac{1+\nu}{8\pi E(1-\nu)} \{\alpha(1-2\nu)(r_{,n}r_{,j} - n_j) - 2\beta(1-\nu)(r_{,n}r_{,j} + n_j)\} \frac{1}{r} + O(r^0), \\ \hat{T}_i^f = \frac{\rho_f p^2}{8\pi\beta} \left\{ (\alpha - \beta) \frac{1-2\nu}{1-\nu} r_{,i}r_{,j} + n_i \frac{\alpha + \beta(1-2\nu)}{1-\nu} \right\} \frac{1}{r} + O(r^0), \\ \hat{T}_{ij}^s = \frac{-(1-2\nu)\delta_{ij} + 3r_{,i}r_{,j}}{8\pi(1-\nu)r^2} r_{,n} + (1-2\nu)(r_{,j}n_i - r_{,i}n_j) + O(r^0). \end{aligned}$$

Для решения проблемы обращения интегрального преобразования Лапласа применяется вариант метода Дурбина [4]:

$$f(0) \approx \sum_{k=1}^n \left[\frac{(F_{k+1} - F_k)\Delta_k}{2\pi} \right],$$

$$f(t) \approx \frac{e^{\alpha t}}{\pi t^2} \sum_{k=1}^n \left[\frac{F_{k+1} - F_k}{\Delta_k} (\cos(\omega_{k+1}t) - \cos(\omega_k t)) + \frac{G_{k+1} - G_k}{\Delta_k} (\sin(\omega_{k+1}t) - \sin(\omega_k t)) \right],$$

где

$$\Delta_k = \omega_{k+1} - \omega_k, \quad F_k = \operatorname{Re}[\bar{f}(\alpha + i\tau_k)], \quad G_k = \operatorname{Im}[\bar{f}(\alpha + i\tau_k)].$$

Тело D состоит из однородных пороупругих частей Ω . Добавление для каждой из однородных частей условий контакта для обобщенных поверхностных сил и перемещений позволяет сформулировать краевую задачу для тела D и поставить ей в соответствие систему граничных интегральных уравнений (ГИУ).

2. Границно-элементная дискретизация

Чтобы ввести гранично-элементную (ГЭ) дискретизацию, рассмотрим регуляризованное ГИУ [3–6]. Базовый процесс ГЭ-дискретизации состоит в разбиении поверхности $\partial\Omega$ на N_E граничных элементов E_e ($1 \leq e \leq N_E$). Граничные элементы четырехугольные восемиузловые биквадратичные. На каждом элементе вводится локальная система координат $\xi = (\xi_1, \xi_2) \in [-1, 1]^2$. Глобальные координаты произвольной точки элемента N_k выражаются через локальные координаты с помощью функций формы. В качестве функций формы выбраны квадратичные полиномы интерполяции. Неизвестные граничные поля интегрируются через узловые значе-

ния в интерполяционных узлах. Множество интерполяционных узлов отличается от множества геометрических узлов, а множество интерполяционных функций не совпадает с множеством функций формы. Рассмотрим случай, называемый согласованным интерполированием, где для аппроксимации граничных перемещений применим билинейные элементы, а для аппроксимации поверхностных сил – постоянные элементы. При этом для расчетного значения параметра s будем иметь следующие выражения граничных перемещений и поверхностных сил внутри элемента S_k :

$$v_i(y) = \sum_{l=1}^4 R^l(\xi) v_i^l, \quad i = 1, 2, 3; \quad y \in S_k,$$

$$\tilde{t}_i(y) = \tilde{t}_i^l, \quad i = 1, 2, 3; \quad y \in S_k.$$

Здесь $R^l(\xi)$ – функции формы для линейного четырехугольного элемента.

Для получения дискретного аналога ГИУ применяется метод коллокации. В качестве узлов коллокации выбираются узлы аппроксимации исходных граничных функций, и формируется система линейных алгебраических уравнений.

Необходимо отметить, что все коэффициенты дискретных аналогов ГИУ в упругом случае имеют особенности типа $1/r$ или $1/r^2$. Принципиальным отличием поведения фундаментальных и сингулярных решений пороупругости от соответствующих решений для упругого случая является то, что разные компоненты матриц пороупругости имеют разные особенности [3]. Это определяет специфику вычислительного процесса.

3. Численные результаты

Рассмотрим задачу о действии силы на торец пороупругого призматического тела – составную консоль длиной $l = l_1 + l_2 = 9$ м (рис. 1). Будем исследовать перемещения и давление в точке A , удаленной на $l_2 = 1,5$ м от нагруженного торца. Граничные условия на плоскости $x_3 = 0$ следующие: $u_1 = 0, u_2 = 0, u_3 = 0$, а неизвестными являются t_1, t_2, t_3 . Граничные условия на плоскости $x_3 = l$ следующие: $t_1 = 0, t_2 = 0, t_3 = 1 \text{ Н/м}^2$, а неизвестными являются u_1, u_2, u_3 . Граничные условия на боковой поверхности следующие: $t_1 = 0, t_2 = 0, t_3 = 0$, а неизвестными являются u_1, u_2, u_3 . Для нахождения численного решения используется ГЭ-сетка, состоящая из 340 элементов. В исследовании материал обеих частей первоначально выбирался с одинаковыми свойствами, затем увеличивался коэффициент проницаемости части тела длиной l_2 , контактирующей с другой однородной частью по плоскости, проходящей через точку A и параллельной координатной плоскости x_2Ox_1 . Проведено исследование влияния изменения коэффициента проницаемости на граничные динамические отклики.

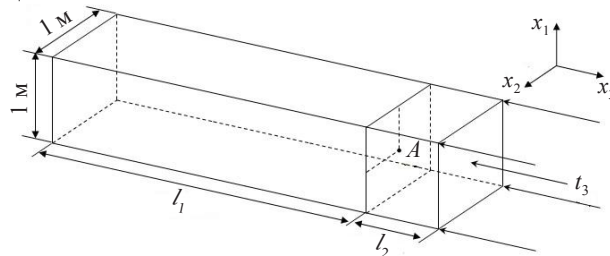


Рис. 1

На рис. 2, 3 представлены ГЭ-решения: соответственно отклики смещения и давления в точке A для следующих параметров пороупругого материала [2]: $K = 2,1 \cdot 10^8 \text{ Н/м}^2$, $G = 9,8 \cdot 10^7 \text{ Н/м}^2$, $\phi = 0,48$, $K_s = 1,1 \cdot 10^{10} \text{ Н/м}^2$, $K_f = 3,3 \cdot 10^9 \text{ Н/м}^2$, $k = 3,55 \cdot 10^{-9} \text{ м}^4/(\text{Н}\cdot\text{с})$, $\rho = 1884 \text{ кг/м}^3$, $\rho_f = 1000 \text{ кг/м}^3$.

Кривые на рис. 2, 3 построены для соответствующих коэффициентов k : 1 – для $k = 3,5 \cdot 10^{-9}$, 2 – для $k = 3,5 \cdot 10^{-7}$, 3 – для $k = 3,5 \cdot 10^{-6}$.

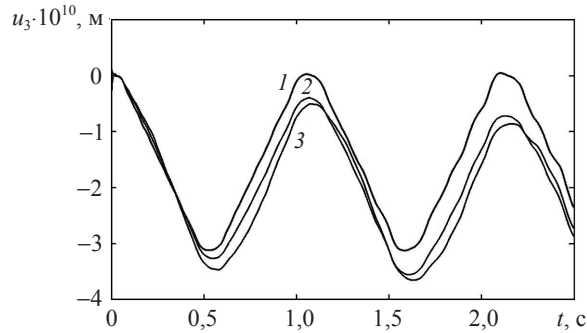


Рис. 2

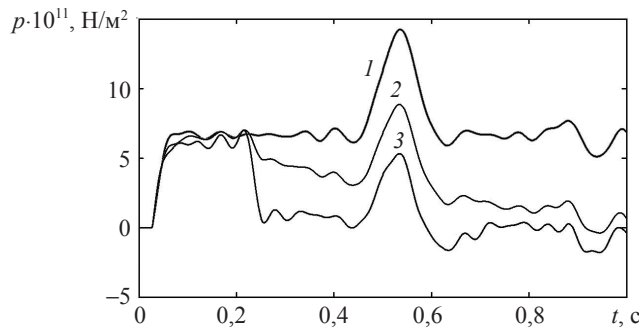


Рис. 3

На рис. 4, 5 представлены ГЭ-решения: отклики смещения и давления в точке A для следующих параметров пороупругого материала: $K = 8 \cdot 10^9 \text{ Н/м}^2$, $G = 6 \cdot 10^9 \text{ Н/м}^2$, $k = 1,9 \cdot 10^{-10} \text{ м}^4/(\text{Н}\cdot\text{с})$, $\rho = 2458 \text{ кг/м}^3$, $\rho_f = 1000 \text{ кг/м}^3$, $\phi = 0,19$, $K_s = 3,6 \cdot 10^9 \text{ Н/м}^2$, $K_f = 3,3 \cdot 10^9 \text{ Н/м}^2$. Кривые на рис. 4, 5 построены для соответствующих коэффициентов k : 1 – для $k = 1,9 \cdot 10^{-10}$, 2 – для $k = 1,9 \cdot 10^{-8}$, 3 – для $k = 1,9 \cdot 10^{-7}$.

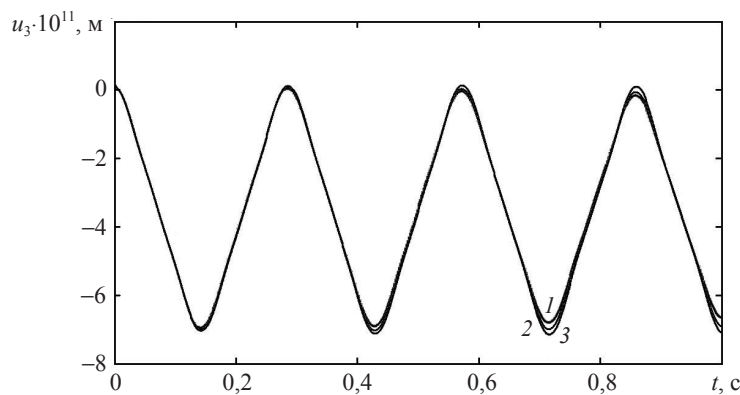


Рис. 4

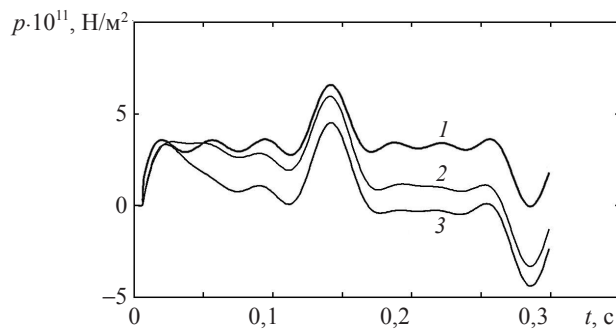


Рис. 5

Из анализа изменения давлений видно, что с ростом значения параметра проницаемости возникает эффект возбуждения в пороупругом теле волны Био: происходит падение амплитуды отклика давлений. Подобный эффект третьей волны демонстрируется в работах [6–8] на примере аналитического решения для пороупругого одномерного стержня.

Рассмотрим задачу о действии вертикальной силы $t_3(t) = t^0 f(t)$, $t^0 = -1000 \text{ Н/м}^2$, на поверхность составного пороупругого полупространства (рис. 6). В качестве закона изменения приложенной нагрузки возьмем функцию Хэвисайда $f(t) = H(t)$. Дневная поверхность полупространства свободная и проницаемая: $p = 0$, поверхностные силы $t_i(t) = 0$ ($i = 1, 3$), кроме участка $abcd$, где $t_3(t) = t^0 f(t)$. Площадь участка $abcd$ составляет 1 м^2 . Исследовались отклики в точках A, B, C и D дневной поверхности, удаленные от источника силы на $7,4, 9,6, 12,1$ и $15,0$ м соответственно. Кроме того, исследовалась точка E , расположенная под центральной точкой O , заглубленная на 10 м.

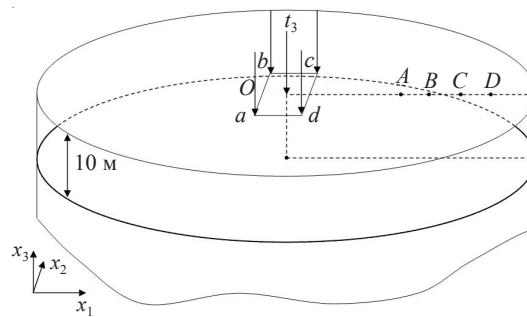


Рис. 6

В численных исследованиях пороупругие свойства слоя и полупространства выбирались одинаковыми, а затем в слое увеличивалось значение коэффициента проницаемости. При увеличении значений коэффициента проницаемости в однородном пороупругом теле наблюдается эффект распространения волны Био [2, 3]. В численных исследованиях ГЭ-сетка состоит из 1536 элементов на дневной поверхности и 1536 элементов в области контакта.

Рассмотрим следующие параметры пороупругого материала, соответствующие водонасыщенному песку: $K = 2,1 \cdot 10^8 \text{ Н/м}^2$, $G = 9,8 \cdot 10^7 \text{ Н/м}^2$, $\rho = 1884 \text{ кг/м}^3$, $\phi = 0,48$, $K_s = 1,1 \cdot 10^{10} \text{ Н/м}^2$, $\rho_f = 1000 \text{ кг/м}^3$, $K_f = 3,3 \cdot 10^9 \text{ Н/м}^2$, $k = 3,55 \cdot 10^{-9} \text{ м}^4/(\text{Н}\cdot\text{с})$. Проведено исследование влияния изменения коэффициента проницаемости верх-

него слоя полупространства на волновую картину. На рис. 7–9 приведены отклики перемещений соответственно в точках E , A , D с различными значениями коэффициента проницаемости k . Кривые на рис. 7–9 построены для соответствующих коэффициентов k : 1 – для $k = 3,5 \cdot 10^{-9}$, 2 – для $k = 3,5 \cdot 10^{-7}$, 3 – для $k = 3,5 \cdot 10^{-6}$.

Влияние величины коэффициента проницаемости на отклик перемещений ярко выражено. С ростом коэффициента проницаемости увеличивается скорость волны Рэлея и изменяется величина амплитуды.

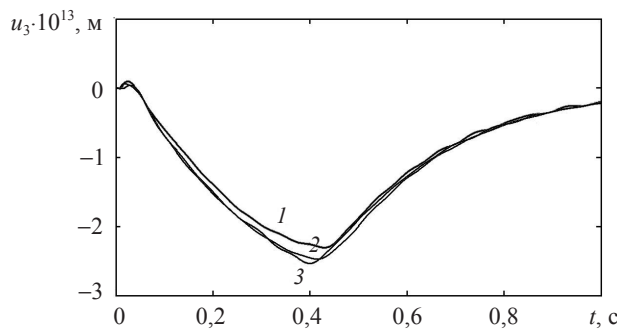


Рис. 7

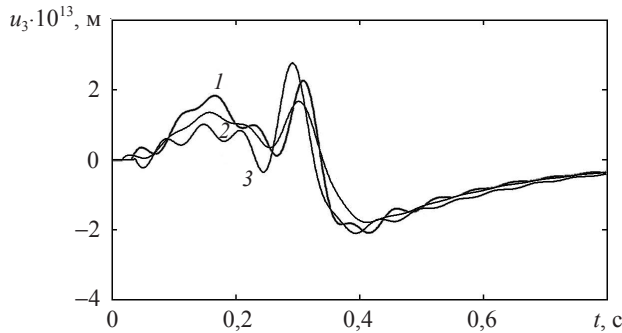


Рис. 8

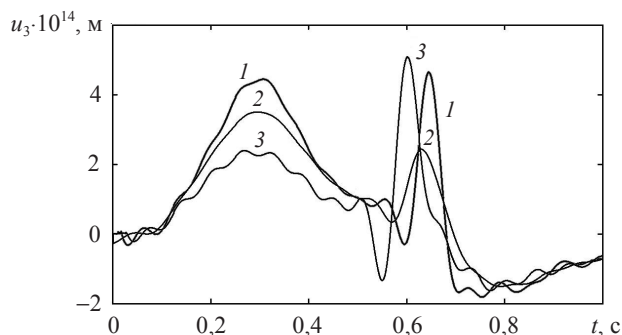


Рис. 9

На рис. 10 приведен отклик порового давления в точке E для различных значений коэффициента проницаемости (кривая 1 – для $k = 3,5 \cdot 10^{-9}$, 2 – для $k = 3,5 \cdot 10^{-7}$, 3 – для $k = 3,5 \cdot 10^{-6}$).

Приведенные исследования наглядно демонстрируют изменение динамических откликов в зависимости от того, насколько сильно выражен эффект проявления волн Био в одной из однородных частей составного пороупругого тела. Для конечного

составного тела это наиболее наглядно демонстрируется на поровых давлениях, а для составного полупространства такое явление наиболее наглядно иллюстрирует отклик перемещений.

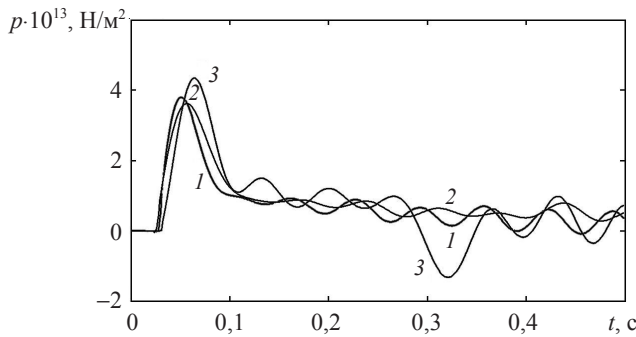


Рис. 10

Список литературы

1. *Biot M.A. Theory of propagation of elastic waves in a fluid-saturated porous solid* // J. Acust. Soc. Amer. 1956. V. 28. P. 168–191.
2. *Schanz M. Wave propagation in viscoelastic and poroelastic continua*. Berlin: Springer, 2001. 170 p.
3. *Аменицкий А.В., Игумнов Л.А., Карелин И.С. Развитие метода граничных элементов для решения проблемы распространения волн в пористых средах* // Проблемы прочности и пластичности: Межвуз. сб. / Нижегород. ун-т. 2008. Вып. 70. С. 71–78.
4. *Баженов В.Г., Белов А.А., Игумнов Л.А. Гранично-элементное моделирование динамики кусочно-однородных сред и конструкций*. Н. Новгород: Изд-во Нижегород. госуниверситета, 2009. 180 с.
5. *Баженов В.Г., Игумнов Л.А. Методы граничных интегральных уравнений и граничных элементов в решении задач трехмерной динамической теории упругости с сопряженными полями*. М.: Физматлит, 2008. 352 с.
6. *Границные интегральные уравнения для решения динамических задач трехмерной теории пороупругости* / А.В. Аменицкий, А.А. Белов, Л.А. Игумнов, И.С. Карелин // Проблемы прочности и пластичности: Межвуз. сб. / Нижегород. ун-т. 2009. Вып. 71. С. 164–171.
7. *Белов Л.А., Карелин И.С. Частные решения динамической пороупругости в одномерной постановке* // Проблемы прочности и пластичности: Межвуз. сб. / Нижегород. ун-т. 2010. Вып. 72. С. 159–164.
8. *Schanz M., Antes H. Waves in poroelastic half space: Boundary element analyses – Porous media: theory, experiments, and numerical applications*. Berlin: Springer, 2002. P. 383–412.

BOUNDARY-ELEMENT CONSTRUCTION OF SOLUTIONS FOR A 3D GREEN'S MATRIX

L.A. Igumnov, I.P. Markov, V.P. Pazin, A.A. Ipatov

The dynamics of a compound body, with one of its homogeneous parts showing a pronounced third-wave formation effect, is modeled. The problem is analyzed in the frame of the 3D dynamic poroelasticity theory. The boundary integral equation method in a direct formulation is used for the analysis. The results of numerical investigation obtained by using the boundary-element approach are given.

Keywords: boundary-element method, poroelasticity, Biot's wave.